

II-151 粒子浮遊流の乱れスペクトルの測定

東京大学工学部 学生員 三村 信男
東京大学工学部 正員 松尾 友矩

(I) はじめに 固液混相流の運動特性は水と比べて変化することはよく知られており、多くの研究があるが、その変化的機構の解明についてはまだ残された問題も多い。これを解明するためには、乱れの構造に立ち入った測定と検討が必要と考えられる。こうしたことから、筆者らは、中立浮遊状態に近い粒子浮遊流に着目し、粒径の異なる2種類のポリスチレン粒子とさらにそれらを混合した合計4種類の粒子浮遊流と、カオリン凝集フロックを浮遊させた流れを用いて円管路における乱れの計測を行い、乱れの強さ、エネルギースペクトル、平均漏径、エネルギー逸散率などの乱れの特性量を測定したのでその結果を報告する。

(II) 実験

実験は、内径5cm、長さ13mのま、すぐな硬質塩化ビニール製のパイプを用いて行った。実験に用いた粒子は大、小2種類(表-1)で、この各々を清水に浮遊させたものに加えて、L:Sが4:1, 1:1の2種類の混合粒径粒子浮遊流を作った。以上4種類の粒子浮遊流の体積濃度は5%である。フロックを浮遊させた流れは、ALM T比0.024、カオリン5000ppmでフロックを形成し、その後1時間パイプの中を流してフロックが破壊されほぼ平衡径に達している状態のものを用いた。フロックの場合体積濃度は測定できなかっため、24時間放置体積率を測定したが、その値は0.07であり、濃度として他の粒子浮遊流と大きな差はないと思われる。また、ポリスチレン粒子を清水に浮遊させるため界面活性剤を用いたので清水と界面活性剤200ppmを入れた水を比べて大きな差はなかった。

乱れは、パイプの流入端から8.5mのところに検査断面をつくりホットフィルム流速計を用いて測定し、データレコーダーに記録した。清水と上記の粒子浮遊流について測定したRe数は、 $1.1 \times 10^5 \sim 1.2 \times 10^5$ である。

(III) データ処理¹⁾

測定したデータから算出した特性量は、乱れの強さ($\overline{U^2}$)、自己相関係数(R_e)、エネルギースペクトル(E)、平均漏径(λ)、エネルギー逸散率(ϵ)である。データ処理にあたっては、まず、データレコーダーの記録をサンプリング間隔0.5msecでAD変換した。データ数は2000個である。このデータを用いて自己相関係数、エネルギースペクトルを計算した。

平均漏径 λ は、 $\lambda = \overline{U} \cdot R_e dz$ (\overline{U} : 平均流速) …① によること求めた。但し、積分は、0から R_e がはじめて0になる時点までとめた。エネルギー逸散率とは、慣性小領域の存在を仮定して、 $E(f) = \alpha (\overline{U} \cdot \epsilon / 2\pi)^{1/3} \cdot f^{-5/3}$ …② より求めた。 $(\alpha: \text{定数}, 1.44^2)$

式①、②は、ともに一様等方性の乱れが仮定されており、シャーの大きな壁面附近まで用いるのは無理があるし、また粒子浮遊流ではエネルギースペクトルの一5/3乗則が成り立つかどうかということ自体が問題であるが、一つの目安として算出した。

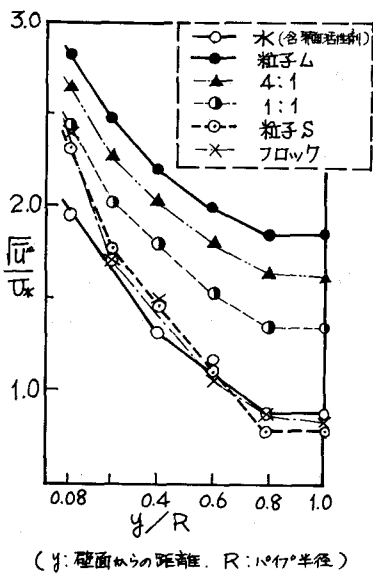
(IV) 結果と考察

<乱れの強さ(図-1)> 乱れの強さは粒子径によって変化する。粒子Lやフロックという小さな粒子と対照的に、粒子Sは乱れの強さを顕著に増大す

(表-1) 実験に用いた粒子

| 粒子 | 比重 | 粒径(mm) |
|------|------|--------|
| L | 1.03 | 1.30 |
| S | 1.08 | 0.12 |
| フロック | — | 0.07 |

(図-1) 乱れの強さの断面内分布



せる。混合粒径の場合でも、乱れの強さの増大の程度は粒子 μ の濃度によってきまっている。

〈平均漏径(表-2)〉多少のばらつきはあるが、粒子を浮遊させることによつて平均漏径は小さくなつてゐる。粒子 μ ではその傾向が顕著で、とくに管断面の中心領域で大きくあらわれてゐる。

〈エネルギースペクトルとエネルギー送散率〉図-2にエネルギースペクトルを示すが、これらも粒子 μ の存在がとくに中心領域の乱れに対して大きな影響を与えてゐることがわかる。一方、粒子 μ やフロックも管面近くでは乱れを大きくしてゐる。また、中心領域ではスペクトルの傾きが緩くなつており、粒子の存在の影響がエネルギースペクトルの形を変えるという形があらわれることをうかがわせる。表-2にエネルギー送散率を示すが、粒子 μ の濃度の増加とともに著しく増大してゐる。一方、同時に測定した抵抗係数は、これに対応するほどの増大ではなく清水とほとんど差がなかつた。

管断面でのエネルギーのつまり合いを考えると、清水の場合、損失水頭から求めた全損失は、単位質量あたり $80U^3/D$ (D : 管径)、このうち直接送散は $40U^3/D$ と見積られ、残り $40U^3/D$ を乱流送散で失うことになる。清水の場合の乱流送散は粘性底層の外縁で最大値となり管中心部で減少する分布が知られてゐる。これに対して、粒子 μ を浮遊させた流れでは、直接送散の分布も変化すると考えられる一方、管中心部から高いとの値が分布しておらず、粒子の存在によつて乱れのエネルギーを断面内に均一に分布させるような機構が推測される。

(V) 結論

① 中立浮遊状態に近い粒子浮遊流の乱れの強さは、粒子径の影響をうける。ある大きさ以上の粒径の粒子は顕著に乱れの強さを増大させる。② 円管路流では、粒子 μ の影響はとくに中心領域で大きい。すなむち、中心領域の乱れを平均漏径の小さい強いものにする。また、エネルギースペクトルの形を変える効果もある。③ エネルギーのつまり合いから考えると粒子の存在によつて乱れのエネルギーを断面内に均一に分布させるような機構が考えられなければならない。④ フロック浮遊流を用いて、剛体として運動するか、変形を受けるかという粒子の性質の差による変化を調べようとしたが、今回の実験ではフロックが小さくなつたことともあって明瞭にはならなかつた。

(謝辞) 今回の計算にあたり東京大学工学部土木工学科 西岡先生、同交通研究室の皆様には大変お世話になりました。心から感謝いたします。

(参考文献) 1) Hinge "Turbulence."
2) J.C.ロック "乱流" p.86. (岩波書店)

平均漏径と
(表-2) エネルギー送散率

| | 平均漏径 y/R | エネルギー送散率 EDU^3 | | |
|-----------|---------------|---------------------|------|------|
| 水 | 1.0 | 0.08 | 1.0 | 0.08 |
| (含.界面活性剤) | 0.99 | 0.97 | 0.9 | 10.3 |
| 粒子 μ | 0.28 | 0.93 | 30.1 | 52.9 |
| 4:1 | 0.69 | 0.62 | 19.3 | 47.6 |
| 1:1 | 0.31 | 0.73 | 13.6 | 34.3 |
| 粒子S | 0.86 | 1.02 | 0.9 | 24.7 |
| フロック | 0.81 | — | 0.9 | 22.1 |

(図-2) 粒子浮遊流のエネルギースペクトル

